

# مطالعه لایه عضلانی جدار ایلیوم سگ به وسیله میکروسکوپهای نوری و الکترونی

دکتر یوسف صادقی<sup>۱</sup> دکتر محمد بیات<sup>۱</sup> دکتر داود شریفی<sup>۲</sup>

گوارشی خواهد بود، در تحقیق حاضر پوشش عضلانی قسمت ایلیوم روده باریک سگهای سالم با میکروسکوپهای نوری و الکترونی بررسی شد.

## مواد و روش کار

در این تحقیق از ۵ قلاوه سگ ماده سالم نژاد محلوت با سن بالای یکسال و وزنی حدود ۲۵ کیلوگرم استفاده شد. سگها با تزریق داخل عضلانی داروهای Phenix pharmacia Antwerp Sاخت شرکت بلژیکی Thiopental sodium فاخت شرکت میزان ۰/۵ میلی‌گرم به ازای هر کیلوگرم و Specia ۱ g به میزان ۲۰ میلی‌گرم به ازای هر کیلوگرم بیهوش گردیدند. سپس با عمل لپاراتومی و پس از پرفیوژن با محلول گلوتارآلدئید ۲ درصد در بافر فسفات، از قسمت انتهایی ایلیوم دو نمونه جهت مطالعه میکروسکوپهای نوری الکترونی برداشته شد. نمونه‌های مربوط به میکروسکوپ الکترونی پس از اینکه به مدت ۲۴ ساعت در محلول فوق الذکر قرار گرفتند در زیر استریومیکروسکوپ به نوارهای ریزتری تشريح شدند و سعی گردید قسمت اعظم مخاط حذف شود. سپس نمونه‌ها به مدت دو ساعت در محلول تراکسید ۲ گلوتارآلدئید ۲ درصد قرار داده شدند و بعد از آن با محلول اسمیوم تراکسید ۲ درصد به مدت دو ساعت فیکس مجدد گردیدند. پس از مراحل آبگیری با محلولهای اتانول بتدریج غلیظتر شده، نمونه‌ها با رزین آگار قالبگیری و به وسیله دستگاه اولترامیکروتوم LKB سوئد برشهایی نیمه نازک با قطر یک الی دو میکرومتر (Semithin) تهیه و با محلول تولوئیدین بلورنگ‌آمیزی و از موقعیت صحیح نمونه‌ها اطمینان حاصل شد. ضخامت لایه‌های پوشش عضلانی ایلیوم به وسیله قطعه چشمی که دارای خط‌کش مدرج دو میلیمتری و با بزرگنمایی ۴۰۰ برابر میکروسکوپ نوری اندازه‌گیری شد.

در مورد نمونه‌های میکروسکوپ الکترونی برشهایی به ضخامت ۶۰-۹۰ نانومتر (Ultrathin) تهیه و هر چند برش، روی یک گرید مسی منتقل و به وسیله اورانیل استات (Uranyl acetate) و سیترات سرب (Lead citrate) (Lead citrate) دوبل شدند. گریدها به وسیله میکروسکوپ الکترونی انتقالی EM-900 ساخت کارخانه ZEISS آلمان، با ولتاژ بالای ۸۰ کیلووات و با بزرگنمایی‌های کم و زیاد مشاهده شدند. در بزرگنمایی‌های زیاد (بالاتر از ۱۰۰۰ برابر) از نواحی مورد نظر به وسیله دوربین عکسبرداری TFP که بر روی میکروسکوپ نصب است عکس تهیه و سپس ظهور و تفسیر شد. نمونه‌های مربوط به مطالعه به وسیله میکروسکوپ نوری به وسیله روش استاندارد بافت‌شناسی عمومی آماده‌سازی و با روش هماتوکسیلین و اثوزین رنگ‌آمیزی شدند.

## نتایج

در بررسی لامهای میکروسکوپ نوری، چهار لایه جدار ایلیوم مشخص بود که عبارت‌اند از مخاط، زیر‌مخاط، پوشش عضلانی و سروز. در پوشش عضلانی، لایه طولی در خارج و لایه حلقوی در داخل مشاهده شد. در لایه طولی مقطع هسته‌ها مدور بود در حالی که در لایه حلقوی به صورت طولی دیده شدند. در بعضی نقاط در حد فاصل بین دو لایه عضلانی، شبکه عصبی آثورباخ (Auerbach's plexus) مشخص بود.

(۱) گروه آموزشی آناتومی دانشکده پژوهشی دانشگاه علوم پزشکی شهید بهشتی، تهران - ایران.  
(۲) گروه آموزشی علوم درمانگاهی دانشکده دامپزشکی دانشگاه تهران، تهران - ایران.

مجله دانشکده دامپزشکی دانشگاه تهران، دوره ۵۵، شماره ۴، ۸۷-۹۰، (۱۳۷۹)

در تحقیق حاضر پوشش عضلانی جدار ایلیوم سگهای سالم با استفاده از میکروسکوپهای الکترونی انتقالی و نوری بررسی شد. در ۵ قلاوه سگ ماده بالغ و سالم با رعایت شرایط استریل و تحت بیهوشی عمومی عمل لپاراتومی انجام شد و انتهای ایلیوم در معرض دید قرار گرفت و دو نمونه از آن برای مطالعات میکروسکوپهای نوری و الکترونی برداشته شد. بر روی نمونه‌های اول مراحل کار عملی بافت‌شناسی عمومی به عمل آمد و برشها با روش رنگ‌آمیزی هماتوکسیلین و اثوزین رنگ و با میکروسکوپ نوری مطالعه توصیفی شدند. نمونه‌های دوم جهت مطالعه میکروسکوپ الکترونی انتقالی آمده و برشهای نیمه نازک (Semithin) و Ultrathin تهیه و رنگ شدند. برشهای نیمه نازک به وسیله میکروسکوپ نوری مطالعه کمی و برشهای Ultrathin به وسیله درشت‌نمایی‌های پایین و بالای میکروسکوپ الکترونی مطالعه شدند. در نمونه‌های میکروسکوپ نوری آرایش متداول لایه‌های طولی و حلقوی عضله صاف پوشش عضلانی جدار ایلیوم مشاهده شد و با میکروسکوپ الکترونی انتقالی تقسیم‌بندی لایه حلقوی را به دو نوار ضخیم در خارج و نازک در داخل آشکار ساخت. میانگین و انحراف معیار ضخامت نوار ضخیم خارجی بین  $21/7 \pm 4/4 \mu\text{m}$  و  $21/7 \pm 5/7 \mu\text{m}$  و ضخامت نوار نازک داخلی فاصله بین  $1/60 \pm 0/49 \mu\text{m}$  و  $1/60 \pm 2/2 \mu\text{m}$  بود در ۴ قسمت نازک داخلی (Gap junction) بین سلولهای سلولهای کم و باریک بود و یک موردن اتصال باز (Gap junction) بین سلولهای آن دیده شد که در مطالعات گزارش نشده بود. بین دو قسمت لایه حلقوی، شبکه عضلانی مشاهده شد. تقسیم‌بندی لایه حلقوی پوشش عضلانی جدار ایلیوم به دو قسمت خارجی و داخلی وجود اتصالات باز در هر دو قسمت دلیل عملکرد مستقل آنها از یکدیگر باشد.

واژه‌های کلیدی: ایلیوم، لایه عضلانی، سگ، میکروسکوپ الکترونی.

براساس معلومات کلاسیک که در کتب مرجع آناتومی انسانی و حیوانی و فیزیولوژی مندرج است جدار روده باریک از داخل به خارج شامل لایه‌های مخاط، زیر‌مخاط، پوشش عضلانی و سروز است. پوشش عضلانی خود شامل یک لایه طولی نازک در خارج و یک لایه حلقوی ضخیم در داخل و شبکه عصبی Myenteric بین آن دو واقع شده است (۷، ۶، ۵، ۴، ۳، ۲، ۱).

برای اولین بار (Duchon et al 1983) اطلاعات جدید و متفاوتی را در این زمینه ارایه دادند و اعلام نمودند مطالعه با میکروسکوپ الکترونی بیانگر دو قسمتی بودن لایه حلقوی پوشش عضلانی جدار روده باریک است (۸). این مشاهدات مربوط به نمونه‌های روده باریک سگ واگوتومی شده بود.

از طرف دیگر (Rumessen et al 1993) اعلام کردند لایه عضلانی حلقوی پوشش روده باریک انسان یکدست نیست و به وسیله تیفه‌هایی که از لایه زیر مخاط منشا گرفته به نواحی کوچکتری تقسیم شده است (۹).

با ملاحظه تحقیقات فوق به نظر می‌رسد لایه عضلانی پوشش روده باریک دارای جزئیات ساختاری فراتری از آنچه که در کتب مرجع ذکر شده است می‌باشد و با توجه به اینکه در تحقیق (Duchon et al 1983) از سگ واگوتومی شده استفاده کرده بودند که تعمیم نتایج ایشان را به نمونه‌های سالم با اشکال مواجه می‌کند و همچنین به منظور کسب اطلاعات مورفولوژیک و کمی بیشتر که طبعاً راهگشای شناخت دقیقترا فیزیولوژی و بیماریهای عملکردی لوله

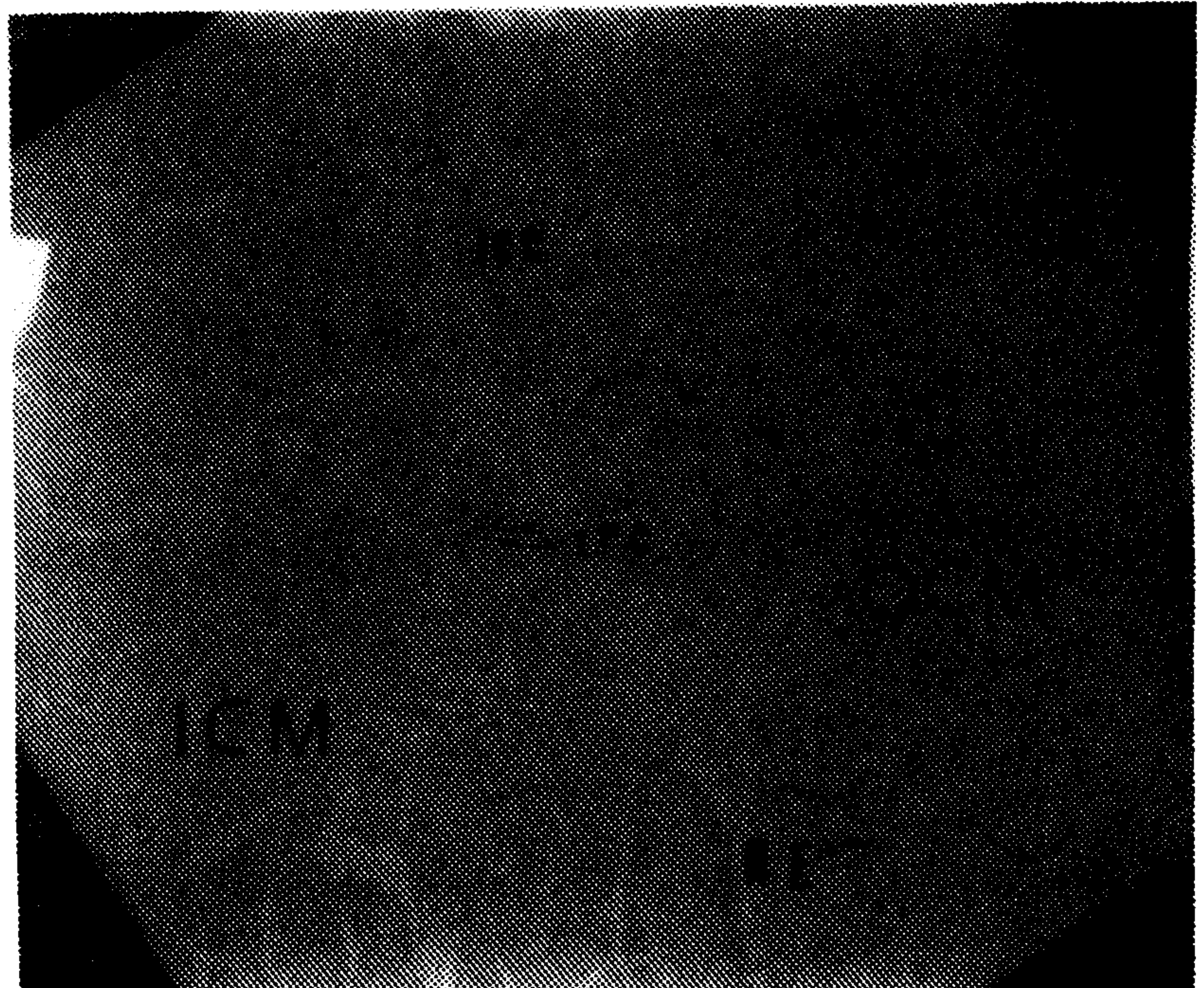


لایه عضلانی حلقوی به یک قسمت خارجی که خیلی وسیعتر است بهنام بخش خارجی و یک نوار داخلی که ضخامت اندکی دارد به نام بخش داخلی تقسیم شده است و بین این دو یک شبکه عصبی ساندویچ شده، مشاهده شد که آن را در شبکه عضلانی عمقی ("DMP") Deep Muscular Plexus "DMP" نامگذاری کرده‌اند (تصویر ۳). داخلیتر از نوار داخلی نسج زیر مخاطی قرار گرفته است که بمعلت دارابودن حالت مشبك در برشهای Ultrathin ابتدا بندرت واضح دیده می‌شود. نتایج بزرگنمایی بالای میکروسکوپ الکترونی از این قرار بود: در بخش خارجی لایه عضلانی حلقوی ("OCM") Outer Circular Muscle "OCM" سلولهای عضلانی درشت‌تر و فاصله بین آنها زیاد بود و اتصالات باز تعداد زیاد بین آنها دیده می‌شود (تصویر ۴).

(Inner Circular Muscle "ICM") بخش داخلی لایه عضلانی حلقوی ("ICM") قسمت داخلی از ۸ الی ۱۰ ردیف سلول عضلانی تشکیل شده بود و سلولها نسبت به قسمت OCM کوچک‌تر بودند و رنگ‌پذیری بیشتری نشان دادند و فاصله بین آنها کمتر بود (تصویر ۵) و در یک مورد بین آنها اتصال باز دیده می‌شود (تصویر ۶).



تصویر ۱ - نمای پوشش عضلانی جدار ایلیوم. (LM) لایه عضلانی طولی، (ICM) قسمت داخلی لایه عضلانی حلقوی، (OCM) قسمت خارجی لایه عضلانی حلقوی. رنگ‌آمیزی تولوئیدین‌بلو، برش سُمی‌تین، (بزرگنمایی  $\times 400$ ).



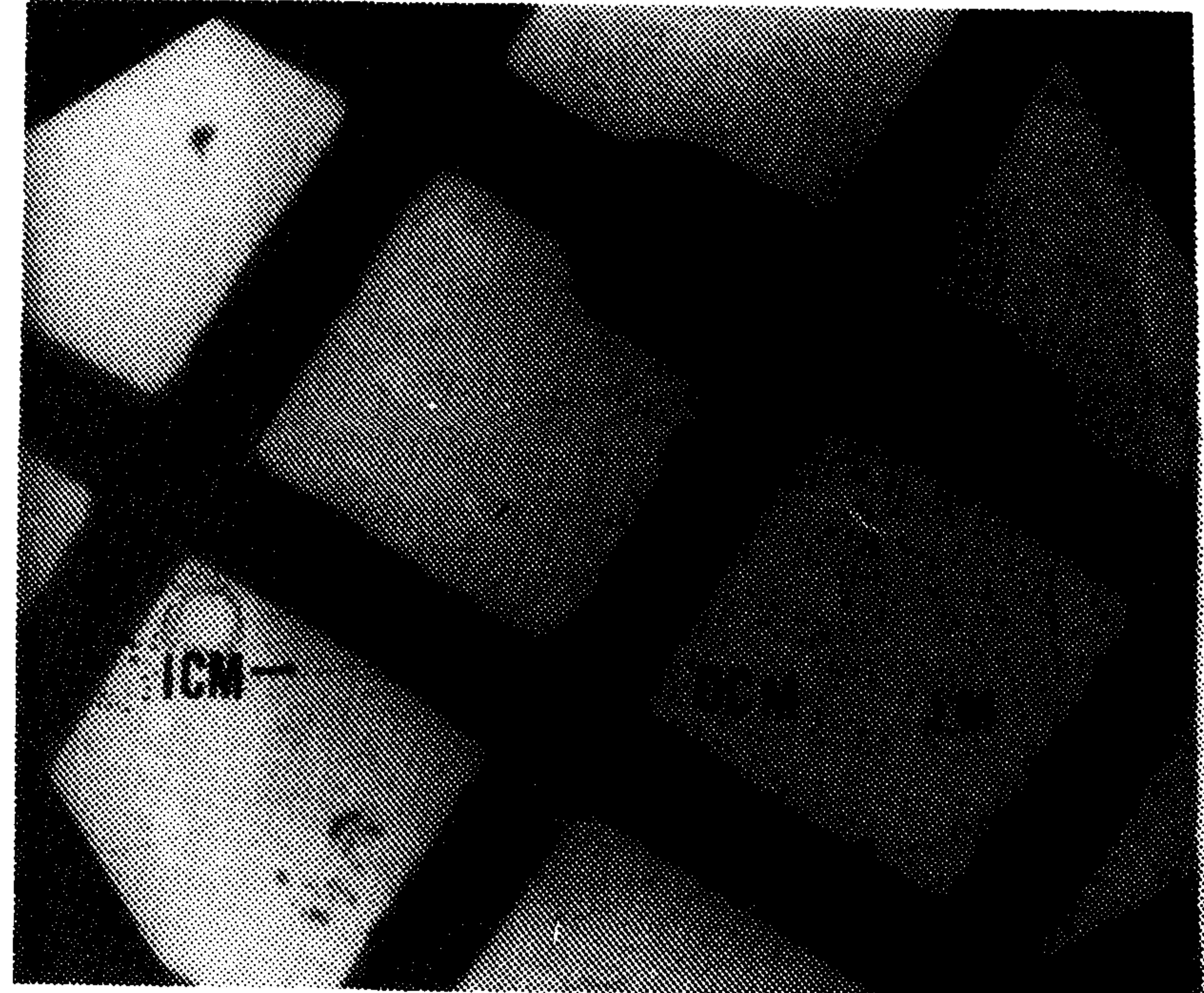
تصویر ۳ - (ICM) قسمتهای داخلی، (OCM) خارجی، (NE) لایه حلقوی و انتهای عصب، (ICC) سلولهای اینترستیشیال کاخال، (بزرگنمایی بالا میکروسکوپ الکترونی  $\times 4400$ ).

جدول ۱ - ضخامت قسمتهای عضلانی جدار ایلیوم سگ در لامهای سُمی‌تین

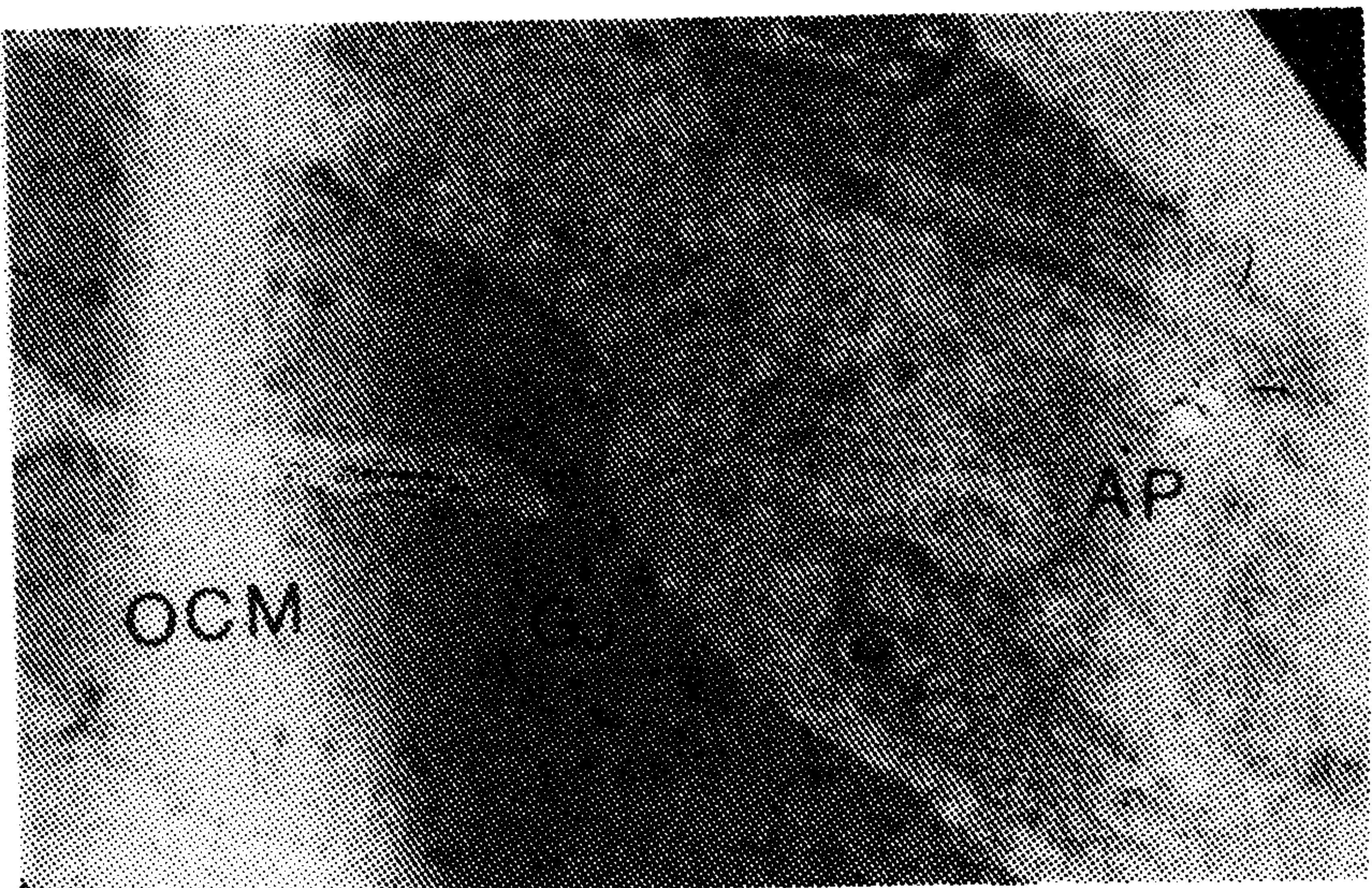
نمونه	ضخامت قسمتهای عضلانی (میکرومتر)			
	لایه طولی	خارج لایه حلقوی	داخل لایه حلقوی	لایه حلقوی
۱	$۳/۶ \pm ۰/۸۵$	$۴/۸ \pm ۱/۱$	$۵/۳ \pm ۱/۸/۶$	$۱/۷ \pm ۰/۸۴$
۳	$۶/۲ \pm ۲$	$۸/۰ \pm ۵/۷$	$۸/۶ \pm ۲/۴/۷$	$۳/۳ \pm ۲/۵$
۴	$۱/۶ \pm ۰/۴۹$	$۲/۱ \pm ۷/۴/۴$	$۲/۳ \pm ۴/۳$	$۷/۲ \pm ۰/۴۷$
۵	$۲/۹ \pm ۰/۳۳$	$۳/۰ \pm ۵/۱/۷$	$۳/۳ \pm ۷/۱/۸$	$۱/۰ \pm ۱/۲$

داده‌ها به صورت Mean  $\pm$  SD ارایه شده‌اند.

نتایج مربوط به اندازه‌گیری برشهای سُمی‌تین در تصویر ۱ و جدول ۱ آورده شده است. در بررسی میکروسکوپ الکترونی با بزرگنمایی کم نتایج از این قرار بود: در چند مورد کل ضخامت پوشش عضلانی جدار ایلیوم مشاهده شد که در این نما مقطع لایه عضلانی طولی در خارج و سپس مقطع شبکه آثرباخت و بعد از آن مقطع لایه عضلانی حلقوی قرار گرفته است (تصویر ۲).

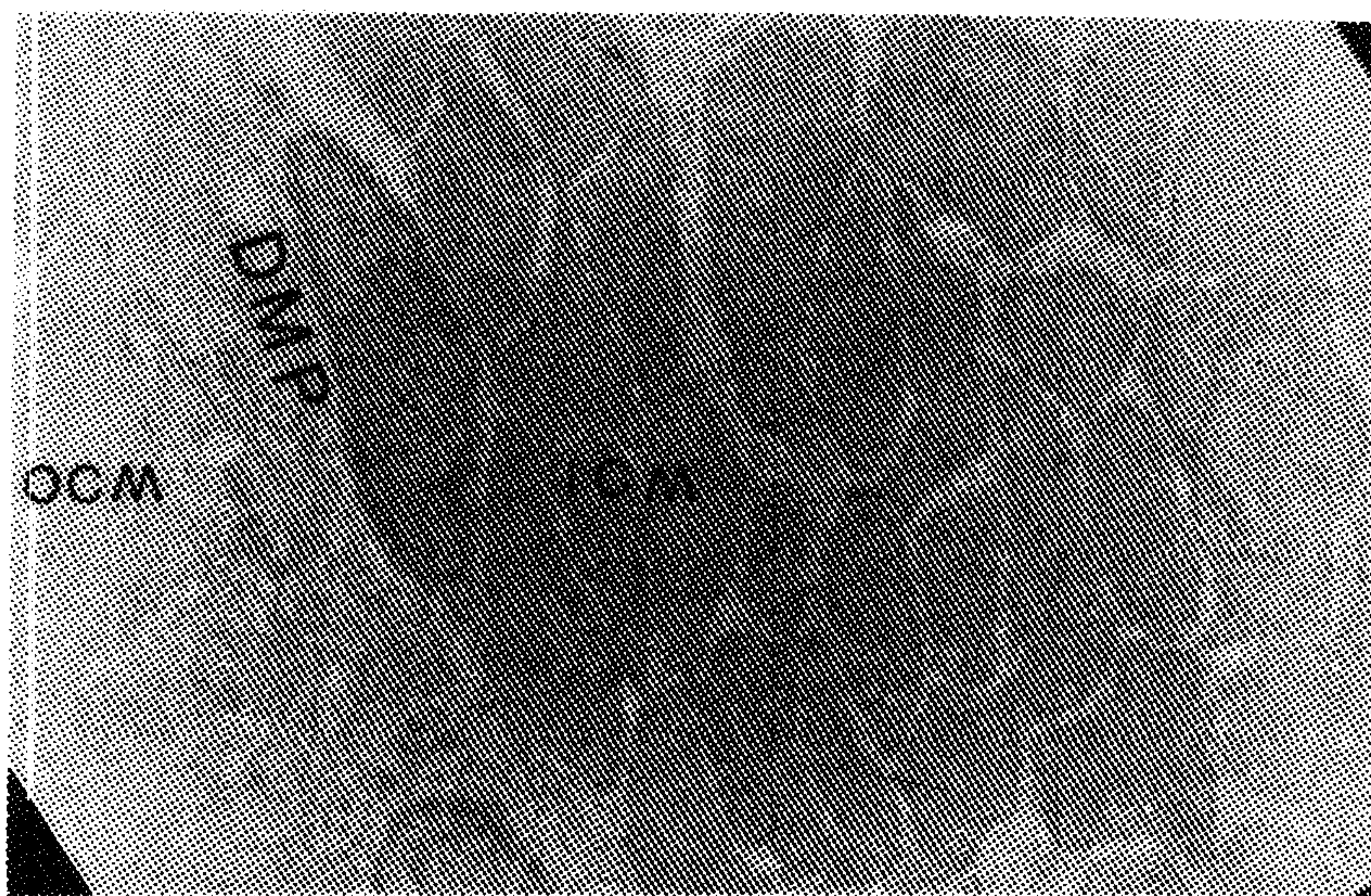


تصویر ۲ - (LM) لایه طولی، (ICM) قسمت داخلی لایه حلقوی، (OCM) قسمت خارجی لایه حلقوی، (بزرگنمایی کم میکروسکوپ الکترونی  $\times 250$ ).



تصویر ۴ - (GJ) اتصال باز بین سلولهای عضلانی صاف قسمت خارجی لایه حلقوی و (AP) شبکه عصبی آثرباخت، (بزرگنمایی  $\times 7000$ ).





تصویر ۵ - (ICM) قسمت داخلی لایه عضلانی حلقوی، (DMP) شبکه عضلانی عمقی و (OCM) قسمت خارجی لایه عضلانی حلقوی، (بزرگنمایی با لامیکروسکوپ الکترونی  $\times 4400$ ).



تصویر ۶ - (GJ) اتصال باز بین سلولهای عضلانی صاف قسمت داخلی لایه عضلانی حلقوی، (بزرگنمایی بالامیکروسکوپ الکترونی  $\times 12000$ ).

علت احتمالی توصیف یکپارچه لایه حلقوی پوشش عضلانی روده باریک در کتب مرجع آناتومی و فیزیولوژی انسانی و حیوانی ممکن است تکیه بر مشاهده به وسیله میکروسکوپ نوری باشد در نمونه‌های مربوط به میکروسکوپ نوری تحقیق حاضر هم که با روش هماتوکسیلین و اوزین رنگ شده‌اند لایه عضلانی حلقوی به صورت تقریباً یکدست دیده شد و برای مشاهده تقسیم‌بندی لایه عضلانی حلقوی احتیاج به روشها و تکنیکهای رنگ‌آمیزی حساستر و دقیقتر میکروسکوپ نوری می‌باشد و بهمین دلیل در مقاطع نیمه نازک تحقیق حاضر هم لایه حلقوی به صورت دو قسمتی مشاهده شد. این مشاهدات به وسیله کاربرد روش میکروسکوپ الکترونی هم تأیید شد و به عقیده نویسندهان مطالعه وسیعتر فراساختار لایه عضلانی جدار روده در جهت شناخت فیزیولوژی حرکات خودکاری آن و شناخت اتیولوژی بیماریهای عملکردی (Functional) کمک‌کننده خواهد بود. نتیجه اینکه لایه عضلانی حلقوی جدار ایلیوم سگ قابل تقسیم به دو نوار خارجی و داخلی است و وجود اتصالات باز بین سلولهای دو قسمت می‌تواند دلیل عملکرد مستقل آنها باشد.

### تشکر و قدردانی

این مقاله بخشی از نتایج طرح تحقیقاتی مصوب دانشگاه علوم پزشکی شهید بهشتی است که با همکاری مؤسسه دارو پخش و دانشکده دامپزشکی دانشگاه تهران اجرا شده است. نویسندهان مقاله مراتب تشکر و قدردانی خود را از مسئولین و کارکنان مراکز فوق اعلام می‌دارند.

### References

1. Bannister, L.H., Alimentary System In: Williample, Bannister LH, Berrymm, Collins P., Dyson, M., Dussek, J.E., Ferguson, M.W.J. (eds), Gray's Anatomy 38th edn, Churchill Livingstowe, New York 1683-1812, (1995).
2. Berne, R.M. and Jevy, M.N. Principle 6 of Physiology Second ed. Mosby, St, Louis, 437-438, (1996).
3. Junqueira, L.C., Carneiro, J. and Kelley, R.O. Basic Histology 9th ed. Appleton & lange, stam ford, 272-304, (1998).
4. Lesson, C.R., Lesson, T.S. and Paparo, A.A. Textbook of

### بحث

در تحقیق حاضر نمونه‌های ایلیوم روده باریک سگ که با روش میکروسکوپ نوری بررسی شدند، پوشش عضلانی به صورت دو لایه طولی و حلقوی دیده شد اما مطالعه نمونه‌های میکروسکوپ الکترونی و مقاطع سمی تین نشان داد که لایه حلقوی خود شامل دو قسمت خارجی و داخلی است که قسمت خارجی ضخامت بیشتری دارد و سلولهای آن درشت‌تر هستند و نوار داخلی، ضخامت کمتری دارد و سلولهای آن کوچک‌تر هستند و بین دو قسمت در بعضی نواحی شبکه عصبی به نام شبکه عضلانی عمقی وجود داشت. مشاهدات فوق با نتایج تحقیق (Torihashi et al 1993) که راجع به شبکه عضلانی عمقی در روده باریک سگ بود و لایه حلقوی را به صورت دو قسمتی گزارش کردند که بین آن دو شبکه عضلانی عمقی وجود داشت مشابهت دارد. اما آنها صرفاً به دو قسمتی بودند لایه عضلانی حلقوی اشاره کرده بودند و هدف تحقیق آنها سلولهای اینترستیشیال کاخال بود (۱۰).

نتایج تحقیق (Duchon et al 1983) هم که صرفاً برروی لایه عضلانی حلقوی روده بود با نتایج تحقیق حاضر مشابهت دارد اما آنها اعلام کرده بودند که در نوار نازک داخلی لایه عضلانی حلقوی اتصال باز بین سلولهای عضلانی صاف مشاهده نکردند و برمبنای آن فرض کردند که پتانسیل الکتریکی در این قسمت پخش نمی‌شود و بنابراین این قسمت به طور همزمان با مابقی لایه عضلانی حلقوی منقبض نمی‌شود. با اعلام وجود اتصال باز در نوار نازک داخلی توسط نویسندهان تحقیق حاضر، فرضیه (Duchon et al 1983) مورد تردید قرار می‌گیرد و نیازمند تحقیقات آناتومیکی و فیزیولوژیکی بیشتر است.

برطبق نتایج تحقیق (Rumessen et al 1993) لایه عضلانی حلقوی در انسان توسط تیغه‌هایی که از لایه زیر مخاط منشاء گرفته‌اند به نواحی کوچکتر تقسیم می‌شود که هر یک از این نواحی به سه قسمت خارجی، مرکزی و داخلی تقسیم می‌شوند و در قسمت داخلی یک نوار نازک داخلی و یک قسمت ضخیم خارجی مشاهده می‌شود (۹). علت تفاوت در ساختار آناتومیک لایه حلقوی پوشش عضلانی قسمت ایلیوم روده باریک انسان و سگ احتماً به دلیل تفاوت مراحل تکاملی است که نیازمند بررسی بیشتر می‌باشد. در همین خصوص پیشنهاد می‌شود که مطالعات الکتروفیزیولوژیک برروی حرکات روده باریک انسان و سگ انجام شود تا مشخص گردد که آیا وجود تفاوت در ساختار آناتومیک موجب بروز تفاوت در حرکات روده باریک گردیده است یا خیر.



- Histology, 5th ed. W.B. Saunders, Philadelphia, 331-352, (1985).
5. Bloom and Fawcett, A. Textbook of Histology, Fawcett DW, 11th ed. W.B. Saunders Philadelphia, 641-671, (1986).
6. Dyce, Sack, Wensing. Textbook of Veterinary Anatomy, W.B. Saunders Philadelphia. 125-126, (1987).
7. Banks, W.J., Applied Veterinary Histology, Third ed, Mosby Year Book, St, Louis 350-359, (1993).
8. Duchon, C., Henderson, R. and Daniel, E.E. Circular muscle layers in the small intestine in Daniel, E.E. (ed) proc. Int. Sympos Gastro Intest Motil, 4th Banpp Alberta, Canada, 635-646, (1983).
9. Rumessen, J.J., Mickelsen, B.H.B., Qvortrop, K. and Thuneberg, L. Ultrastructure of interstitial cells of Cajal in circular muscles of human small intestine. Gastroenterology, 104: 343-350, (1993).
10. Torihashi, S., Kobayashi, S., Gerthoffer, W.T. and Sanders, K.M. Interstitial cells in deep muscular plexus of canine small intestine may be specialized smooth muscle cells, Am. J. Physiol., 265. G 638, (1993).

### **Light and electron microscopic study of muscular layer of canine's ileum**

**Sadeghi, Y.<sup>1</sup>, Bayat, M.<sup>1</sup>, Sharifi, D.<sup>2</sup>**

<sup>1</sup>Department of Anatomy, Faculty of Medicine, Shahid Behonar, University of Medical Sciences, Tehran - Iran. <sup>2</sup>Department of Clinical Sciences, Faculty of Veterinary Medicine, Tehran University, Tehran - Iran.

In present investigation, the muscular covering of canine's ileum was studied by light and electron microscopes. Five healthy female dogs under general anesthesia and sterile conditions were laparotomized and distal portion of ileum was exposed. From each dog, two samples were obtained for light and electron microscopic studies. First sample was fixed in formalin saline, stained by hematoxyline and eosine method, and examined descriptively at light microscopic level. Second sample was prepared for transmission electron microscopic (TEM) study, therefore semithin and ultrathin sections obtained and stained. Semithin sections were examined by light microscope quantitatively and ultrathin sections were observed by low and high magnification of TEM. Light microscopic studies showed routine description of longitudinal and circular layers of muscular covering of ileum. TEM studies showed circular layer composed of a thick portion which located laterally and a thin portion which located internally. Depth of the thick portion was from  $21.7+4.4\mu m$  to  $80+5.7\mu m$  and depth of the thin portion was from  $1.6+0/46\mu m$  to  $6.2+2\mu m$ . In the thin portion, cells were smaller, spaces between them were narrow and

one gap junction between smooth muscle cells was observed. Circular layer of ileum had two distinct portions and the existence of gap junction between smooth muscle cell of them could be the reason of individual functions of them.

**Key words :** Ileum, Muscular layer, Dog, Electron microscopy.

